

II-23 防波堤屈曲部附近の波高、波圧分布に関する実験

北海道開発局土木試験所

正会員 鶴上輝三

同上 藤木信之

同上 上原泰正

1. まえがき

近年、港湾施設のうち特に防波堤は、港外側に凹凸屈曲角を設計ながら外海に延長する事例が多くなっている。この屈曲部に波が侵入すると波力、波高、越波量などが増大することが予想され、事実、この部分の被災例はかなり多い。このことは、現在の設計法において、波力公式に代入すべき設計波高として“構造物と設置しないときの地盤を通過する進行波としての波高”が主に強調され、複雑な平面形状の構造物を設置した場合の相互干渉の影響に対する特に配慮されていないことにも一因があるよう考えられる。このような構造物付近の波高分布については三井が詳しく解説しており、このため波形が安定に保持されている重複波領域の波であるから、波圧の大きさもある程度は推定することができるものと考えられる。しかし不安定領域にある波については、その変形様模、波圧強度の規模などは明らかでない。この報告文は、二、三の簡単な形状の模型防波堤と、安定、不安定領域の波を作用させ、上述の事項について行った実験の結果について述べるものである。

2. 実験装置および実験方法

実験水槽は長さ 15m ×幅 6m ×深さ 0.5m の屋内木槽で、造波機はフランジャー型である。防波堤の開角度は凹状 $\alpha=180^\circ$, 150° , 120° , 90° の4種類で、波の入射角は左右の防波堤に対して対称となるようにした。模型防波堤は図-1のような木製で、前面にコンクリートブロックを置いて不安定領域の波を生じさせ、安定領域の波については実験では、このブロックと模型防波堤の底部を取り除き、波圧計が静水面以下に位置するようにした。前面の水位変動状況は、模型防波堤前面に縦方向 2cm 、横方向 10cm 間隔の線を引き、これをビデオカメラで撮影して読み取った。入射波の諸元としては、起波板より $2.0 \sim 4.5\text{m}$ 離れた所に設置した抵抗線式波高計による測定値、平均を用いた。波圧計は共和電業製製 PW-200 GA 型を、縦方向には 4cm 、横方向には 40cm 間隔で 6 個所配置した。

実験波は $H' = 4 \sim 10\text{cm}$, $T = 0.85 \sim 1.70\text{sec}$ の範囲。8種類で、模型縮尺を $1/30$ として現地波に換算すると $H' = 2.0 \sim 5.0\text{m}$, $T = 6.0 \sim 12.0\text{sec}$, $L = 15\text{m}$, $d = 5\text{m}$, $Y_L = 0.012 \sim 0.087$, $k_L = 0.087 \sim 0.279$ である。波圧については、有効実験時間内、 $5 \sim 10$ 波、平均を実験値とし、同一条件の実験を $3 \sim 5$ 回行つた。

3. 波高分布についての実験結果

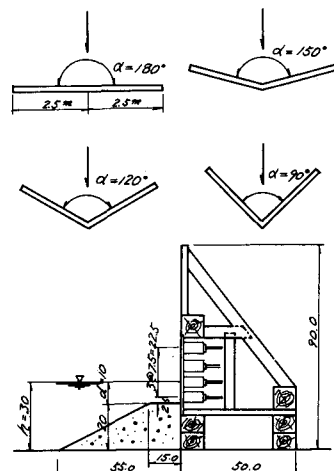


図-1 模型防波堤

(1) 安定領域の波(マウンドがない場合の重複波)

この場合の波高分布については、三井が理論的に詳しく述べてある¹¹⁾。ここで $120^\circ, 90^\circ$ の開角度について、波が左岸の防波堤に対称に入射し、かつ防波堤が屈曲点より無限に延びているものとすると、入射波、反射波について幾何学的に影となる部分が生じない¹²⁾で、これらを単純に重ね合わせることにより、波高比 K ($K = H/H'$: H は防波堤前面の水位振幅, H' は入射波の波高) を簡単に計算することができる。 150° の場合には上述の影のため散乱波が生じ、三井の方法によれば J 項の合計など、計算は非常に複雑となる。したがって 150° については、尾崎らが実験と良く合うことを確かめた回折波を重ね合わせる方法¹³⁾を用いて計算した。図-1 は横軸に屈曲点からの無次元距離 L/L_c をとり、スケルトの実験結果をプロットしたものである。ほかの実験波についてもほぼ同様な結果を示している。理論解は屈曲点より両側とも防波堤が無限長であるとして解かれたものであるが、この実験における模型防波堤は $L = 2.5m$ ($L_c = 0.87 \sim 2.32$) の有限長であるため、防波堤の端部より幾何学的な波高不連続線が生じ、特に $150^\circ, 90^\circ$ の場合には、この不連続部より発生する散乱波がかなり影響を及ぼすものと考えられる。 120° の場合には水槽の側壁に導波板を置くことにより、境界条件を理論とは同じくすることができますため、散乱波の影響はそれ程大きくはない。このことは図からもほぼ推察することができ、 $150^\circ, 90^\circ, 120^\circ$ の順に理論曲線と一致する傾向が認められる。

(2) 不安定領域の波(マウンドがある場合の碎波的波)

図-1 のような高基準マウンドを堤体前面に設置すると、波形が安定に保持されず碎波の状況を呈する。しかしこの場合の擾乱状況を観察すると、碎波が防波堤沿いにすべての奥で生じるわけではなく、それはマウンドがない場合に最大振幅比を示す付近に限られていくことがわかる。図-2 は前図と同様な波高比の分布図であるが、碎波の状況を示す部分については実質部分の $1/2$ 上りのみに関する振幅比である。前図と比較すると、重複波の場合の理論曲線からのズレがかなり大きく、特に 150° の場合には明瞭な

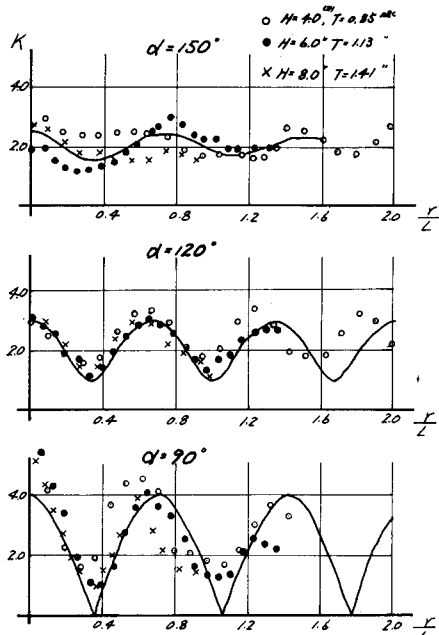


図-2. 防波堤沿いの波高分布
(マウンドを設けない場合の碎波領域)

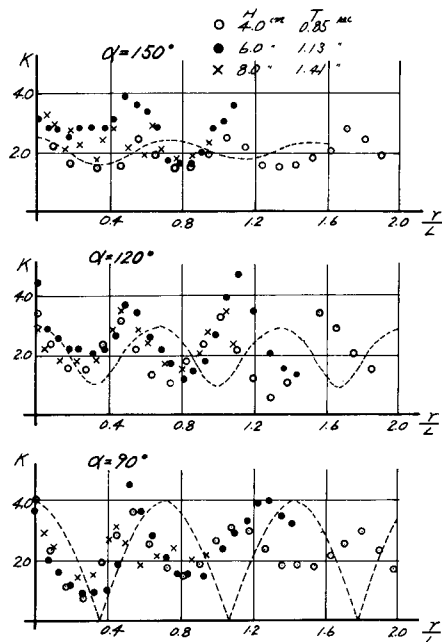


図-3. 防波堤沿いの波高分布
(マウンドを設けた場合の碎波領域)

傾向は把握されない。そのほか、 λ 値の分布は全体的に屈曲点側の方向へ偏った形となつておおり、 90° , 120° の場合について振巾比 L の第1, 第2ピーク点は図-4, 図-5 のようになつてゐる。すなわち重複波の場合では、第1, 第2ピーク点の位置はほぼ理論値と一致しているが、碎波領域になると、これらは屈曲点側に寄り、それを以て $\gamma = 0.5L$, $\gamma = 1.0 \sim 1.2L$ 程度となつてゐる。

4 波圧分布に関する実験結果

(1) 安定領域の波(マウンドがない場合、重複波)

この場合の波圧測定箇所は静水面以下の中央であり、ビデオコーダーで読み取ったのは上り頂点で波圧が0であるとして波圧合力を計算した。最大同時波圧合力 P を、 $P_{WAV}(H+\eta)$ なる無次元量で表わし、横軸に L をとて、8種の波についての実験値をすべてプロットすると図-6のようになる。図中の曲線は、サンフルードの重複波圧公式に、波長としては入射波の波長、波高としては水位振巾比の理論値 λ に $H/2$ を乗じたものをそれ代入し、これを上述のように無次元化したものである。曲線は8種の実験波についての計算値、下限をとつたものであるが、実験値は 90° の一部を除いてすべてこの曲線の下側にあり、かつ1.0以下である。したがつて実験波範囲内においては、上述のような仮定のもとにサンフルードの公式を用いることは十分安全側の結果を与える。工学的に許容され得るものと考えられる。次にその他重複波圧公式、すなわち永井の微小振巾波に基づく解、および合田の有限振巾波に基づく4次解の適応性を検討するために、ビデオコーダーで読み取った前面振巾の波高と波長としては入射波の波長をそれぞれの公式に代入し、これらの計算値と実測値の比を比較した。図-7は全実験についてその比の頻度図である。ビデオコーダーの撮影時と波圧の測定時が同一時でない事例がかなり多いため、バラツキがかなり大きいが、やはりサンフルード式が大きめの波圧を与えようであり、以下永井の微小振巾波解、合田の4次解の順にその比の平均は1.0に近づくようである。

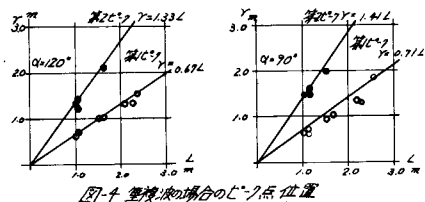


図-4 重複波の場合のピーク点位置

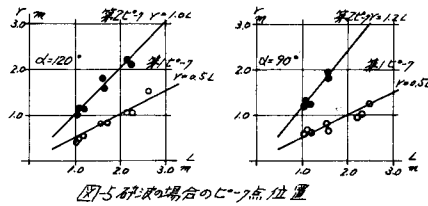


図-5 破砕波の場合のピーク点位置

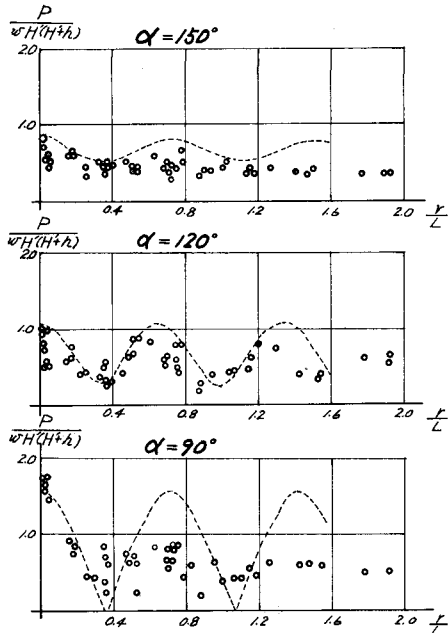


図-6 安定領域の波の波圧分布

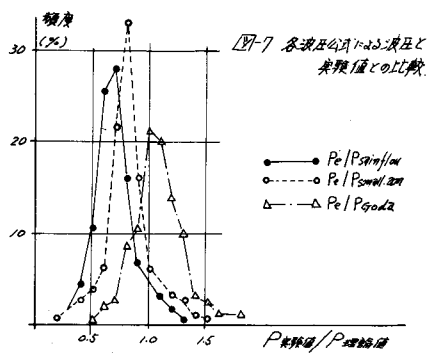


図-7 各波圧公式による波圧と実測値との比較

(2) 不安定領域の波(マウンド設けた場合の碎波的な波)

図-8も図-1と同じく碎波領域の場合の最大波圧合力を無次元量に換算してプロットしたものである。これは次元的な考察により次のように表わせる。

$$\frac{P}{wH^2(H+d)} = \Phi\left(\frac{H}{L}, \frac{Y}{L}, \frac{K}{L}, \frac{H}{L}, \frac{B}{L}, \alpha\right)$$

(α : 用角度, B : マウンド巾, Φ : マウンド水深)

右辺の各種の無次元量が左辺の波圧に対して与える影響は、すなはち至る具体的な性質はここで到底明らかにされ得ない。図は上式の左辺とし、又のみに着目して整理したもので、これから実験の範囲内でピーク実の位置、その極大値などが次のよう推定される。すなはち、図-3、5にみられるように、波圧のピーク実は水位振巾のピーク実とは併一一致しており、各用角度について第1ピーク実は $Y = 0.5L$ 、第2ピーク実は $Y = 1.0 \sim 1.2L$ である。

また用角度が小さくなるとピーク実での値は大きくなる。図中の実線は $K/L \times 1.5$ 、すなはち安定領域の場合の水位振巾の理論値について、その半波高分が広井公式における1.5の波圧係数をもって壁面に作用するものと仮定した曲線である。実線は実験における最大値を外挿したものであるが水位振巾と同じようにかなり屈曲実側に縮んだ形となっている。ピーク値も上述の値に比べてはるかに大きい。150°では2.0、120°では4.0、90°では5.0~6.0程度である。

5 むすび

以上の実験結果を要約すると、①安定領域の波については前面波、波高分布はほぼ理論値と一致する。そして150°の場合のように、近似的には回折波を重ね合せることも可能である。②碎波的な波については、ピーク実が屈曲実側にあるが、K値については重複波の場合の値と大差はない。③重複波領域の波圧については前面の水位振巾が明るかになればある程度推測される。すなはち前面の半波高を入射波の波高と仮定して従来の波圧公式を用いること成工学的に可能である。④碎波領域の波圧については、局所的トから大きな波圧が作用するが、以下で示される。具体的な形を明らかにすることはできなかつた。以上、著者らはあまり例のない波圧の横方向分布に関する実験を行つたが、波圧の実測値はかなりバラッキの大きいものであり、上述の結果はこれらの平均的な値についての論議である。今後は条件を限定して具体的な形を検討してゆきたいと考えている。

参考文献

- ①三井他“海岸構造物不連続部の波高分布について、第1~第5報”第1~7回海岸工学講演会講演集
②尾崎他“屈曲部における波の変形に関する実験的研究” 第1回年次学術講演会講演概要